

金沢大学 学生員。田井 伸治
 金沢大学 正会員 西沢 辰男
 金沢大学 正会員 松野 三朗

1. まえがき

コンクリート舗装版の挙動を解析するには、不連続的な構造条件や、任意の荷重条件を考慮することができる可能な有限要素による平板モデルが、有効な手段であることが報告されている¹⁾。特にコンクリート舗装に特有な目地構造を組み込むことができるということは、平板モデルの大きな利点である。

そこで本報告では、Friberg の解析に基づいて目地部の考え方を示し、その要素マトリックスを誘導する。また、平板モデルにおいて問題となるのは、地盤のモデル化であり、その方法には Winkler 基礎と弾性基礎の 2 種類がある。両者の違いは地盤の荷重分散効果を考慮するかどうかにあり、その差が目地の荷重伝達においていかに現われてくるかを、先の目地要素を用いた数値計算により、検討してみた。

2. 解析方法

図-1 は、dowel bar による目地部の様子を模式的に示したものである。節点 1 のたわみ w_L と節点 2 のたわみ w_R の差は、次式で示される。

$$w_L - w_R = \Delta = \Delta s + 2\Delta c \quad (1)$$

ここで、 Δs は dowel のせん断変形によるたわみで

Δc は dowel の上下のコンクリートの変形によるたわみである。通常、 $\Delta s \ll \Delta c$ であるため、 Δs は無視することができる²⁾。Friberg によると、 Δc は次式のように表わすことができる。

$$\Delta c = \frac{(F_L - F_R)}{4/\beta^3 EI} (2 + \beta d) \quad (2)$$

式中の β は、 $\beta = (Kb/4EI)^{1/4}$ であり、ここで、 K はコンクリートの支持力係数、 b 、 E 、 I はそれぞれ dowel の直径、弾性係数、断面 2 次モーメント、 d は目地の開きである。

よって、(1)式は次のよう改められる。

$$w_L - w_R = 2\Delta c = \frac{(F_L - F_R)}{2/\beta^3 EI} (2 + \beta d) \quad (3)$$

式(3)を基礎として、目地要素の剛性マトリックスを誘導すると次式のようになる。

$$\begin{Bmatrix} F_L \\ F_R \end{Bmatrix} = \frac{2\beta^3 EI}{2 + \beta d} \begin{bmatrix} 1 & -1 \\ -1 & 1 \end{bmatrix} \begin{Bmatrix} w_L \\ w_R \end{Bmatrix} = K_d \begin{bmatrix} 1 & -1 \\ -1 & 1 \end{bmatrix} \begin{Bmatrix} w_L \\ w_R \end{Bmatrix} \quad (4)$$

式(4)を節点 1、節点 2 を持つ目地要素の部分剛性マトリックスに改めると、次式のように表わすことができる。

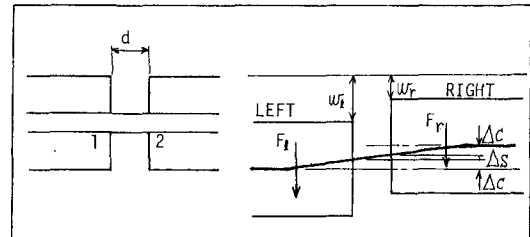


図-1 目地部模式図

$$\begin{Bmatrix} F_1 \\ F_2 \end{Bmatrix} = [k_{ij}] \begin{Bmatrix} \delta_1 \\ \delta_2 \end{Bmatrix} \quad (i, j = 1 \sim 6) \quad (5)$$

ここで、 $[k_{ij}]$ は目地要素に対する部分剛性マトリックスで、 $k_{11} = -k_{13} = -k_{31} = k_{33} = K_j$ であり、他の要素は 0 である。 $F_1, \delta_1, F_2, \delta_2$ は、それぞれ各節点の外力ベクトルと変位ベクトルである。

3. 数値計算例

数値計算に用いたモデルは、岩間氏が道路のコンクリート舗装版について過去に行ったデータに基づいている³⁾。計算に用いた諸定数は表-1に示す通りである。

図-2 は、目地縁部載荷の場合のたわみとひずみの計算結果を示したものである。ここで、荷重伝達率 E_{ff} として次式を導入する⁴⁾。

$$E_{ff} = 2d_2/(d_1 + d_2) \times 100 \quad (6)$$

d_1 は載荷版のたわみ、 d_2 は隣版のたわみである。この荷重伝達率により、荷重伝達効果を評価してみると、実測値 93.6%、弾性基礎 86.3%、Winkler 基礎 76.8% となる。同様に図-3 に示す目地隅角部載荷の場合、実測値 94.1%、弾性基礎 87.5%、Winkler 基礎 75.5% となる。

4. あとがき

荷重伝達率に関し、Winkler 基礎より弾性基礎の方が高いのは、地盤の荷重分散効果によるものと思われ、実測値がそれらをさうに上回るのは、目地部に入り込んだ砂のせん断抵抗などによる付加的な要因によると思われる。

ひずみや応力については、弾性基礎と Winkler 基礎との間にあまり差けなく、実測値ともかなりよく一致した。

〈参考文献〉

- 1). 西沢; スラブモデルによるコンクリート舗装版の応力解析、土木学会第37回年次学術講演会、1982
- 2). E.J.Yoder, M.W.Witzczak; Principles of Pavement Design Second Edition
- 3). 岩間; コンクリート舗装構造に関する実験的研究、1962
- 4). L.D.Chiids et al; Test of Concrete Pavement of Gravel Subbase, Proc.of ASCE HW3, 1958

	第3試験舗装	第4試験舗装
コンクリート	弾性係数(kgf/cm) ²	340,000
	ポアソン比	0.27
路盤	版厚(cm)	19.9
	反力係数(kgf/cm) ²	3.5
Dowel bar	弾性係数(kgf/cm) ²	477.6
	ポアソン比	0.5
K _j	17,400	17,400

表-1 計算に用いた定数

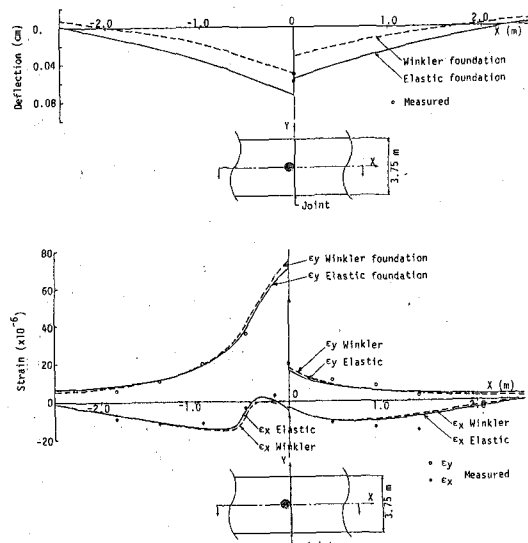


図-2 第3試験舗装 目地縁部載荷の場合のたわみとひずみ

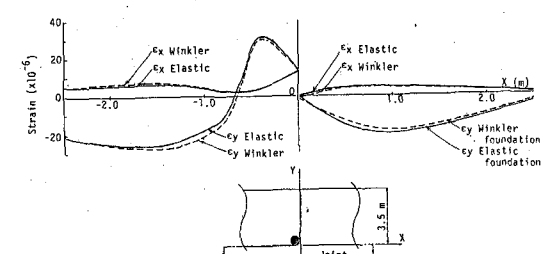
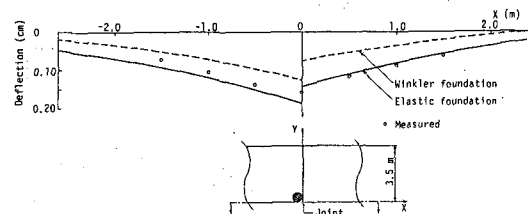


図-3 第4試験舗装 目地隅角部載荷の場合のたわみとひずみ